

# Résolution d'équations différentielles par réseaux de neurones

Matthieu Carreau  
Telecom Paris, Institut Polytechnique de Paris  
F-91120, Palaiseau, France  
`matthieu.carreau@telecom-paris.fr`

Supervisors:  
Stam Nicolis  
Institut Denis Poisson  
Université de Tours, Université d'Orléans, CNRS (UMR7013)  
Parc de Grandmont, F-37200, Tours, France  
`stam.nicolis@lmpt.univ-tours.fr`

Pascal Thibaudeau  
CEA Le Ripault  
BP 16, F-37260, Monts, France  
`pascal.thibaudeau@cea.fr`

Juillet 2022

## Résumé

Faire un résumé de ce qu'il y a dans ce document

# Table des matières

<b>1</b>	<b>Introduction</b>	<b>2</b>
<b>2</b>	<b>Equation différentielle d'ordre 1</b>	<b>3</b>
2.1	Solutions en séries de Fourier . . . . .	3
2.1.1	Première méthode : inversion d'un système linéaire . .	4
2.1.2	Seconde méthode : descente de gradients . . . . .	5
2.2	Solutions par réseau de neurones . . . . .	7
2.2.1	Résultats obtenus . . . . .	10
<b>3</b>	<b>Mouvement de précession</b>	<b>11</b>
3.1	Solutions en séries de Fourier . . . . .	11
3.1.1	Résultats obtenus . . . . .	12
<b>4</b>	<b>Conclusion et perspectives</b>	<b>13</b>

# Chapitre 1

## Introduction

Cette partie positionne le travail dans un contexte. Décrire le contexte. Dire ici ce que l'on doit faire et proposer un petit résumé des documents lus de façon à montrer en quoi ils sont pertinents pour le problème posé. Par exemple : Bidulle et Machin dans la référence [1] ont montré que ... tandis que Truc et Chmuc dans la référence [2] ont prouvé que... Dans la section 2, je montrerai que... Dans la section 3, je montrerai... Enfin dans la section 4, je discuterai des résultats obtenus et proposerai quelques perspectives.

# Chapitre 2

## Equation différentielle d'ordre 1

Soit  $\Psi$  une fonction réelle à une variable dont la solution satisfait l'équation différentielle suivante, où  $\psi_0$  désigne la valeur initiale de la fonction.

$$\begin{cases} \frac{d\Psi(x)}{dx} + \cos(2\pi x) = 0 \\ \Psi(0) = \psi_0 \end{cases} \quad (2.1)$$

On cherche à tester les méthodes présentées dans la section 1 sur l'équation (2.1), pour tout  $x \in [0, 1]$ . L'équation (2.1) et sa condition initiale donnée en  $x = 0$ , admet une solution analytique unique qui s'écrit

$$\Psi(x) = \psi_0 - \frac{1}{2\pi} \sin(2\pi x) \quad (2.2)$$

Cela nous permettra par la suite d'évaluer nos solutions numériques, en les comparant à cette solution analytique.

### 2.1 Solutions en séries de Fourier

On cherche des solutions numériques approchées de l'équation (2.1) sous la forme de séries de Fourier tronquées avec  $M$  harmoniques. On écrit pour cela la solution approchée  $\tilde{\Psi}$  comme la somme de deux termes, le premier  $\psi_0$  constant non ajustable vérifiant la condition initiale, et le deuxième  $\mathcal{N}(x, \mathbf{A})$  dépendant des coefficients  $(A_m)_{m \in \llbracket 1, M \rrbracket}$  représentés par le vecteur  $\mathbf{A}$ , construit de façon à ne pas influencer la valeur initiale de la fonction.

$$\begin{cases} \tilde{\Psi}(x) = \psi_0 + \mathcal{N}(x, \mathbf{A}) \\ \mathcal{N}(x, \mathbf{A}) = \sum_{m=1}^M A_m \sin(2\pi m x) \end{cases} \quad (2.3)$$

On définit une fonction d'erreur pour ces solutions potentielles, à partir de la valeur de la dérivée de  $\tilde{\Psi}$  aux  $N$  points suivants :  $\forall i \in \llbracket 1, N \rrbracket, x_i = \frac{i-1}{N}$

$$E = \frac{1}{2} \sum_{i=1}^N \left( \sum_{m=1}^M 2\pi m A_m \cos(2\pi m x_i) + \cos(2\pi x_i) \right)^2 \quad (2.4)$$

On cherche à présent le minimum de  $E$  en tant que fonction de  $\mathbf{A}$ . Une condition nécessaire sur  $\mathbf{A}$  pour être un antécédent d'un minimum est

$$\forall l \in \llbracket 1, M \rrbracket, \frac{\partial E}{\partial A_l} = 0 \quad (2.5)$$

Or ces dérivées partielles sont données pour  $l \in \llbracket 1, M \rrbracket$  par :

$$\frac{\partial E}{\partial A_l} = \sum_{i=1}^N \left( \sum_{m=1}^M 2\pi m A_m \cos(2\pi m x_i) + \cos(2\pi x_i) \right) 2\pi l \cos(2\pi l x_i) \quad (2.6)$$

Les deux méthodes suivantes ont pour objectif de trouver les coefficients  $(A_m)_{m \in \llbracket 1, M \rrbracket}$  qui vérifient la condition 2.5, et de vérifier que le vecteur de coefficients trouvé correspond bien à la solution analytique, i.e  $\forall m \in \llbracket 1, M \rrbracket, A_m = -\frac{1}{2\pi} \delta_1^m$ .

### 2.1.1 Première méthode : inversion d'un système linéaire

On cherche à résoudre le système linéaire donné par :  $\forall l \in \llbracket 1, M \rrbracket, \frac{\partial E}{\partial A_l} = 0$ , on définit pour cela les matrices suivantes :

$$\mathcal{M} = (r_{m,l})_{(m,l) \in \llbracket 1, M \rrbracket^2}, \mathbf{A} = \begin{pmatrix} A_1 \\ A_2 \\ \vdots \\ A_M \end{pmatrix}, \mathbf{b} = \begin{pmatrix} b_1 \\ b_2 \\ \vdots \\ b_M \end{pmatrix} \quad (2.7)$$

$$\forall(m, l) \in \llbracket 1, N \rrbracket^2, \begin{cases} r_{m,l} = 2\pi m l \sum_{i=1}^N \cos(2\pi m x_i) \cos(2\pi l x_i) \\ b_l = -l \sum_{i=1}^N \cos(2\pi x_i) \cos(2\pi l x_i) \end{cases} \quad (2.8)$$

On souhaite alors résoudre le système linéaire en écrivant l'équation matricielle le représentant, c'est-à-dire :

$$\mathcal{M}\mathbf{A} = \mathbf{b} \Leftrightarrow \mathbf{A} = \mathcal{M}^{-1}\mathbf{b} \quad (2.9)$$

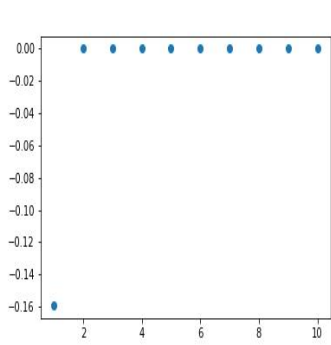
On réalise l'implémentation en python, en instanciant les matrices définies précédemment et à l'aide de la bibliothèque *numpy*. On peut constater que la matrice  $\mathcal{M}$  n'est pas toujours inversible selon le choix de  $M$  et  $N$ . En effet, on peut montrer (à rajouter en annexe) que c'est nécessairement le cas lorsque  $M > N$ , mais on remarque également qu'elle ne l'est pas non plus lorsque  $M$  et  $N$  sont proches par exemple pour  $M = N = 10$ . Il serait intéressant d'approfondir ce point pour savoir si cela se traduit par le fait que  $E$  admette plusieurs minimums locaux par exemple. Il semble que choisir  $N \gg M$  soit suffisant pour que  $\mathcal{M}$  soit inversible. On choisira alors  $M = 10, N = 100$  pour la suite. On obtient alors les coefficients présentés en figure 2.1 avec les valeurs absolues des erreurs de chacun par rapport à la valeur théorique. On constate que les erreurs sur chaque coefficient est inférieure à  $10^{-16}$ , on valide donc cette première méthode.

### 2.1.2 Seconde méthode : descente de gradients

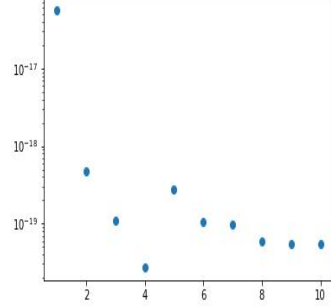
On définit les paramètres suivants :

$$\alpha > 0, \mathbf{A}^{(0)} = \begin{pmatrix} A_1^{(0)} \\ A_2^{(0)} \\ \vdots \\ A_M^{(0)} \end{pmatrix}, \mathbf{g}^{(0)} = \begin{pmatrix} \frac{\partial E^{(0)}}{\partial A_1^{(0)}} \\ \frac{\partial E^{(0)}}{\partial A_2^{(0)}} \\ \vdots \\ \frac{\partial E^{(0)}}{\partial A_M^{(0)}} \end{pmatrix}, \quad (2.10)$$

Puis on calcule itérativement :



(a) Coefficients trouvés



(b) Valeurs absolue de l'erreur pour chaque coefficient

FIGURE 2.1 – Résultats de la méthode de l'inversion de système

$$\mathbf{A}^{(k+1)} = \mathbf{A}^{(k)} - \alpha \mathbf{g}^{(k)} \quad (2.11)$$

On cherche à trouver le coefficient  $\alpha$  optimal qui assure la convergence tout en maximisant la vitesse de convergence. On exprime tout d'abord le gradient en fonction de la matrice  $\mathcal{M}$  et du vecteur  $\mathbf{b}$  définis précédemment qui sont indépendants de  $\mathbf{A}$  et de  $k$  :

$$\mathbf{g}^{(k)} = \mathcal{M}\mathbf{A}^{(k)} - \mathbf{b} \quad (2.12)$$

Ainsi, l'équation de récurrence (2.11) se réécrit comme une suite arithmético-géométrique de vecteurs :

$$\mathbf{A}^{(k+1)} = (\mathcal{I}_M - \alpha \mathcal{M})\mathbf{A}^{(k)} + \alpha \mathbf{b} \quad (2.13)$$

On en déduit que la suite converge si et seulement si la norme  $(\mathcal{R}_\alpha^n)_{n \in \mathbb{N}}$  tend vers 0. Le maximum du module des valeurs propres de la matrice  $\mathcal{R}_\alpha = \mathcal{I}_M - \alpha \mathcal{M}$  est strictement inférieur à 1. De plus, elle convergera d'autant plus vite que ce maximum est faible. On trace donc ce maximum en fonction de  $\alpha$  en figure 2.2. On en déduit la valeur critique  $\alpha_c = 6.2807 \cdot 10^{-5}$ , pour laquelle le maximum des modules vaut 1, ainsi que la valeur  $\alpha_{min} = 6.2189 \cdot 10^{-5}$  pour laquelle le maximum des modules est minimum.

On exécute l'algorithme en parallèle pour les deux valeurs de  $\alpha$  trouvées précédemment ainsi que pour une valeur  $\alpha_1 = 6.3 \cdot 10^{-5}$ , tel que le maximum des modules des valeurs propres de  $\mathcal{R}_\alpha$  soit supérieur à 1. On montre



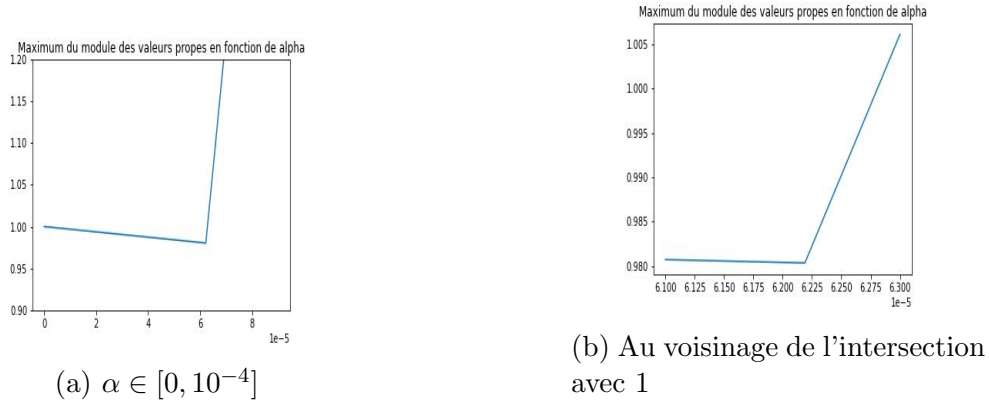


FIGURE 2.2 – Maximum des valeurs propres de  $\mathcal{R}_\alpha$  en fonction de  $\alpha$

l'évolution de l'erreur en fonction du nombre d'itérations en figure 2.3. On constate que  $\alpha_{min}$  donne lieu à une décroissance exponentielle de l'erreur pendant les 2000 premières itérations, qui devient ensuite stationnaire. Tandis que  $\alpha_1$  donne une erreur qui croît exponentiellement car la norme de  $(\mathcal{R}_\alpha^n)_{n \in \mathbb{N}}$  diverge exponentiellement. La valeur  $\alpha_c$  donne une erreur constante, elle correspond au cas limite entre les 2 cas précédents.

On retient donc les résultats obtenus pour  $\alpha_{min}$  que l'on montre en figure 2.4 avec les valeurs absolues des erreurs de chacun par rapport à la valeur théorique. On constate que les erreurs sur chaque coefficient est inférieure à  $10^{-16}$ , on valide donc cette seconde méthode.

## 2.2 Solutions par réseau de neurones

On cherche à présent à utiliser un réseau de neurones pour approcher la solution de l'équation différentielle. On cherche désormais des solutions approchées sous la forme suivante :

$$\begin{cases} \tilde{\Psi}(x) = \psi_0 + \mathcal{N}(x, P) \\ \mathcal{N}(x, P) = \sum_{j=1}^H v_j \sigma(w_j x + b_j) \end{cases} \quad (2.14)$$

$\mathcal{N}(x, P)$  correspond donc à la sortie d'un réseau de neurones dont l'architecture est présentée en figure 2.5, contenant une couche cachée intermédiaire,

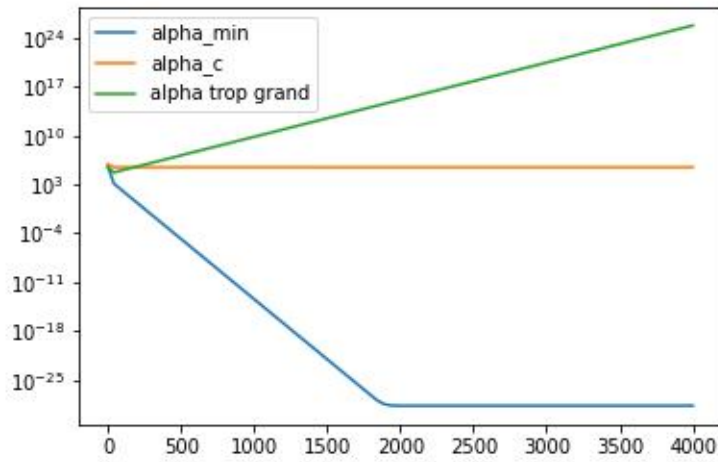
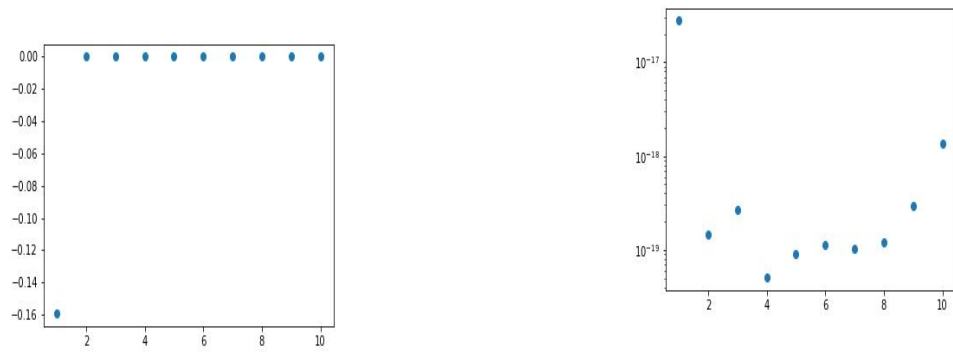


FIGURE 2.3 – Erreurs en fonction du nombre d'itérations pour 3 valeurs de  $\alpha$



(a) Coefficients trouvés

(b) Valeurs absolue de l'erreur pour chaque coefficient

FIGURE 2.4 – Résultats de la méthode de descnte de gradients

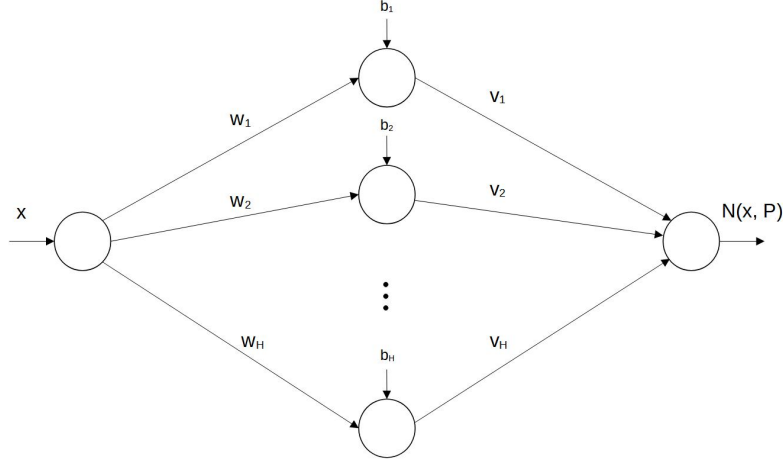


FIGURE 2.5 – Réseau de neurones

qui réalise en sortie une somme pondérée de sigmoïdes, la fonction utilisée est  $\forall x \in \mathbf{R}, \sigma(x) = \frac{1}{1 + e^{-x}}$ . Les paramètres  $P$  à ajuster sont désormais les coefficients  $(w_j)_{j \in \llbracket 1, H \rrbracket}$ ,  $(b_j)_{j \in \llbracket 1, H \rrbracket}$  et  $(v_j)_{j \in \llbracket 1, H \rrbracket}$ .

Peux-tu donner une référence pour quelqu'un qui cherche ce que tout ceci veut dire ?

On définit une nouvelle fonction d'erreur, calculée à partir des  $N$  points suivants :  $\forall i \in \llbracket 1, N \rrbracket, x_i = \frac{i-1}{N-1}$

$$E(P) = \sum_{i=1}^N \left( \frac{d\tilde{\Psi}}{dx}(x_i) + \cos(2\pi x) \right)^2 \quad (2.15)$$

L'équation (2.15) est-elle correcte ?

On calcule ensuite les expressions analytiques des dérivées partielles de  $E(P)$  par rapport à chaque paramètre ajustable, puis on cherche à minimiser cette erreur à l'aide de l'algorithme de descente de gradients.

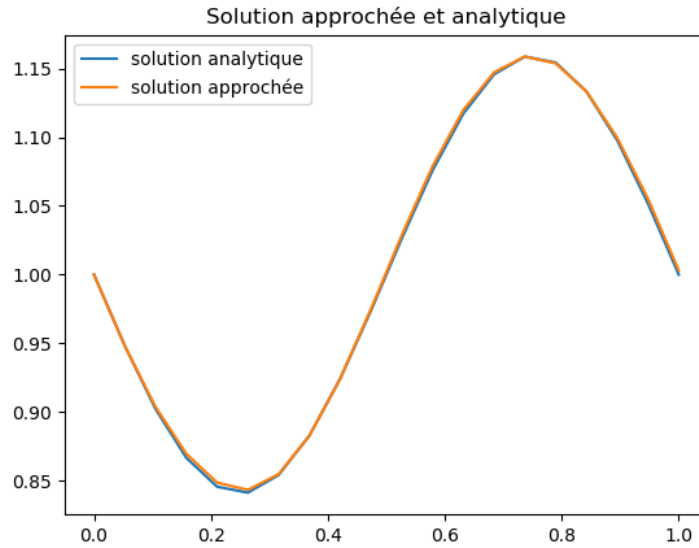


FIGURE 2.6 – estimation de la solution par un réseau de neurones

### 2.2.1 Résultats obtenus

On initialise l'algorithme avec les paramètres suivants : ( $H = 4, N = 20$ )  
On obtient une erreur de  $1,2 \cdot 10^{-2}$  et une estimation visible en figure 2.6.  
Cela permet de valider notre modèle sur l'étude à une dimension.

# Chapitre 3

## Mouvement de précession

On s'intéresse désormais au problème de la précession d'un moment magnétique dans un champ magnétique constant. On le modélise par les équations suivantes pour  $t \in [0, 1]$  :

$$\begin{cases} \frac{dv_x}{dt} = \omega v_y \\ \frac{dv_y}{dt} = -\omega v_x \end{cases} \quad (3.1)$$

avec les conditions initiales

$$\begin{cases} v_x(0) = V_0 \\ v_y(0) = 0 \end{cases} \quad (3.2)$$

dont la solution analytique vaut

$$\begin{cases} v_x(t) = V_0 \cos(2\omega t) \\ v_y(t) = -V_0 \sin(2\omega t) \end{cases} \quad (3.3)$$

### 3.1 Solutions en séries de Fourier

On cherche des solutions numériques approchées sous la forme de séries de Fourier tronquées avec  $M$  harmoniques, en posant la forme suivante :

$$\begin{cases} \tilde{v}_x(t) = V_0 + \sum_{m=1}^M A_m (\cos(m\omega t) - 1) + B_m \sin(m\omega t) \\ \tilde{v}_y(t) = \sum_{m=1}^M -A_m \sin(m\omega t) + B_m (\cos(m\omega t) - 1) \end{cases} \quad (3.4)$$

Les coefficients  $(A_m)_{m \in \llbracket 1, M \rrbracket}$  et  $(B_m)_{m \in \llbracket 0, M \rrbracket}$  sont les paramètres à ajuster. On cherche à obtenir la solution analytique, i.e  $\forall m \in \llbracket 0, M \rrbracket, A_m = \delta_1^m$  et  $\forall m \in \llbracket 1, M \rrbracket, B_m = 0$ . On remarque que le coefficient  $A_0$  n'a aucune influence.

On définit une fonction d'erreur pour ces solutions potentielles, en s'intéressant aux  $N$  points suivants :  $\forall i \in \llbracket 1, N \rrbracket, t_i = \frac{i-1}{N}$  :

$$E(P) = \sum_{i=1}^N \left( \frac{d\tilde{v}_x}{dt}(t_i) - \omega \tilde{v}_y(t_i) \right)^2 + \left( \frac{d\tilde{v}_y}{dt}(t_i) + \omega \tilde{v}_x(t_i) \right)^2 \quad (3.5)$$

On utilise ensuite la méthode de descente de gradients définie précédemment, en calculant les dérivées partielles suivantes :  $(\frac{\partial E}{\partial A_l}, \frac{\partial E}{\partial B_l})_{l \in \llbracket 1, M \rrbracket}$

### 3.1.1 Résultats obtenus

On initialise l'algorithme avec les paramètres suivants : ( $M = 10, N = 100, V_0 = 1, \omega = 2\pi, \alpha = 10^{-6}$ ) On obtient au bout de 10000 itérations les résultats suivants :

$A = [1.00000255e+00, -1.23919994e-06, -2.20679520e-07, -9.12537244e-08, -4.93048945e-08, -3.05670278e-08, -2.06219718e-08, -1.47337251e-08, -1.09721848e-08, -8.43076573e-09],$

$B = [-6.59235880e-07, 3.20274560e-07, 5.70352161e-08, 2.35847707e-08, 1.27429827e-08, 7.90013061e-09, 5.32980412e-09, 3.80797092e-09, 2.83579070e-09, 2.17895410e-09]$

On constate comme attendu que le coefficient  $A_0$  est très proche de 1 (erreur relative inférieure de  $2.5510^{-6}$ ), et que les autres coefficients ont une valeur absolue maximale de  $1.2410^{-6}$ . On peut donc valider notre modèle.

## Chapitre 4

### Conclusion et perspectives

# Bibliographie

- [1] C.Bidule and A.Machin, Journal of Computer Power **12** 123 (2020)
- [2] C.Truc and T.Chmuc, (2020)